Vol. 18, No. 1, April 2020, hal. 94~107 p-ISSN: 1693 – 4024 | e-ISSN: 2355-0740

# Gelombang listrik amplitudu tinggi dan variasi frekwensi ripple untuk untuk mempercepat pemuatan charger aki basah

#### Ari Murtono, Edi Sulistio Budi, Herman Hariyadi

Jurusan Teknik Elektro, Politeknik Negeri Malang, Indonesia

#### Informasi Artikel

## Riwayat Artikel

Diterima 24 Maret 2020 Direvisi 24 April 2020 Diterbitkan 28 April 2020

#### Kata kunci:

Riak Frekwensi Aki Beban Ekstrim

#### Keywords:

Ripple Frequency Batter Load Extreme

## **ABSTRAK**

Ripel pada tegangan dan arus DC dihindari pada kebanyakan bebanbeban DC, karena dapat menambah energi yang tidak perlu. Baterai adalah beban DC, saat aki dalam kondisi diisi oleh charger. Pengisian muatan listrik pada aki memerlukan waktu sampai penuh. kami meneliti sejauh mana pengaruh amplitudu ripel terhadap kecepatan pengisian penuh pada aki pada frekwensi ripel 100 Hz. Tanda bahwa aki sudah bermuatan penuh, ketika arus beban (I2) sangat kecil atau bahkan mendekati nol. Pada ripel rendah, memerlukan waktu yang lebih panjang, menurut yang ada di penelitian ini pada detik ke 3000, arus I<sub>2</sub> masih belum mencapai angka nol. Pada ripel sangat tinggi tinggi, pada detik ke ke 160 arus I<sub>2</sub> sdh mencapai mencapai Nol dengan lembah negatip. Dapat disimpulkan bahwa riak sangat berpengaruh untuk mengurangi waktu pengisian. Metode penelitian ini, mendesain: rangkaian konverter dc-dc, amplitudu ripple, rangkaian ekivalen baterai, mensimulasi dengan software PSIM, analisis, dan simpulan.

#### **ABSTRACT**

Ripple on DC voltage and current is avoided at most DC loads, because it can add unnecessary energy. The battery is a DC load, when the battery is charged by the charger. Charging an electric charge on the battery takes time to full. we investigated the effect of ripel amplitude on the speed of full charge on the battery at 100 Hz ripple frequency. Sign that the battery is fully charged, when the load current (I2) is very small or even close to zero. At low ripel, requires a longer time, according to what is in this study at 3000 seconds, the current I2 still has not reached zero. At a very high ripel, at 160 seconds the current I2 reaches zero with the negative valley. It can be concluded that the ripple is very influential to reduce the charging time. This research method, design: dc-dc converter circuit, ripple amplitude, battery equivalent circuit, simulates with PSIM software, analysis, and conclusions.

# Penulis Korespondensi:

Nama Penulis Ir. Ari Murtono, M.T. Jurusan Teknik Elektro, Politeknik Negeri Malang, Jl. Sukarno Hatta No. 9, Malang, Jawa Timur, Indonesia.

Email: ari.murtono@polinema.ac.id

# 1. PENDAHULUAN

Beragam bentuk gelombang listrik yakni: gelombang AC murni simetris/tidak semetris, gelombang AC mengandung DC atau sebaliknya, gelombang DC murni Smoot, gelombang DC Murni berripple, gelombang listrik dalam kondisi steadystate, rata-rata tegangan/arus, efektif tegangan /arus. Di sini akan dilaporkan hasil pengamatan dan penelitian jika ripel tinggi dari gelombang DC digunakan untuk mengisi muatan pada sebuah aki. Apakah amplitudu tinggi dapat membuat efek yang signifikan, efek apa, dan bagaimana membangkitkan ripel yang tinggi.

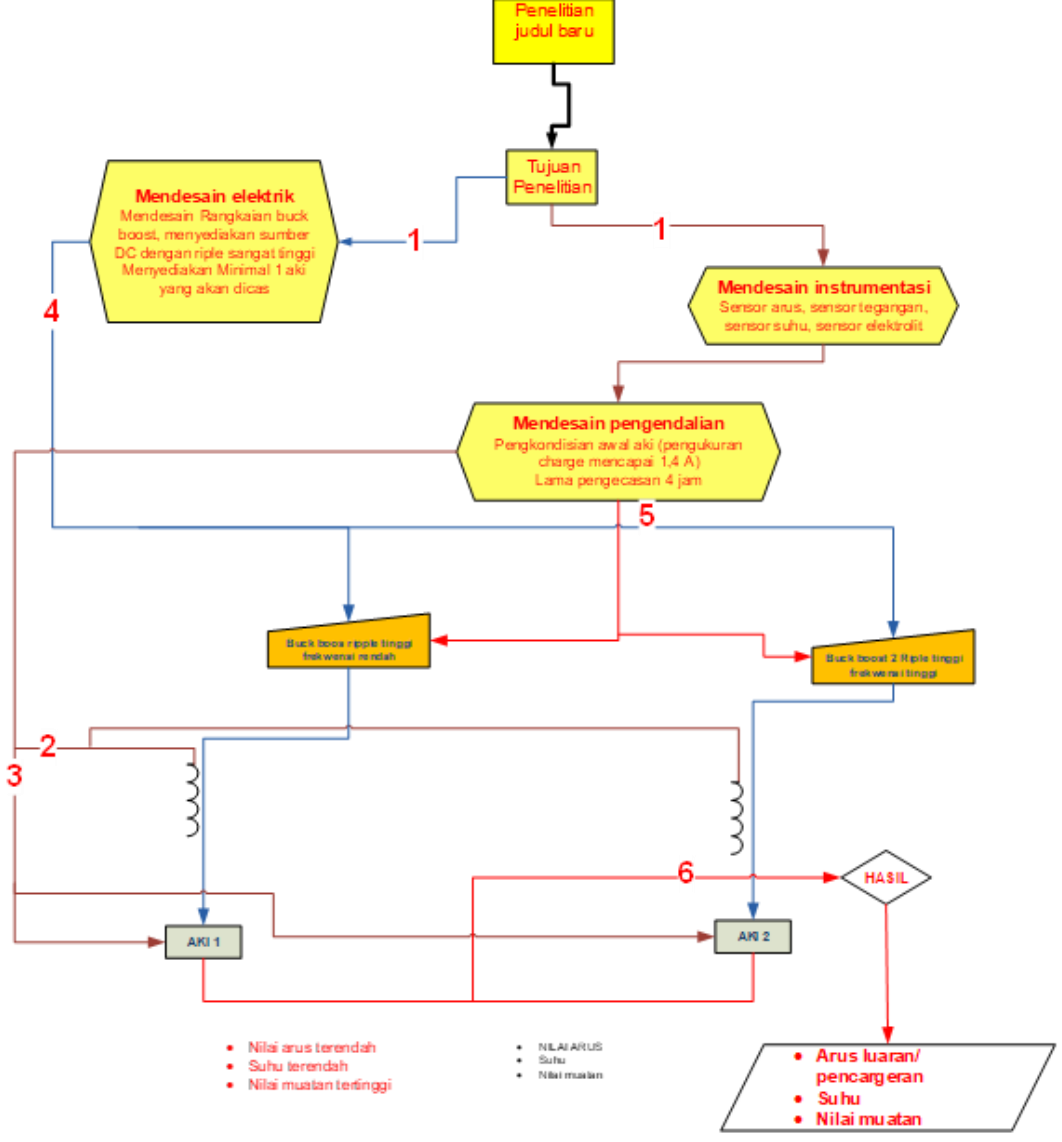
Pada artikel oleh Mahmoud Nassary, dkk menyatakan dalam abstraknya, Dalam tulisan ini, konverter CUK dengan kapasitor kurang diusulkan yang memanfaatkan konsep pengisian arus riak tinggi yang meningkatkan masa pakai dan keandalan pengisi daya sambil mempertahankan kinerja bate-rai yang ditingkatkan. Selain itu, pengisi daya yang diusulkan sesuai dengan IEC61000 3-2 untuk standar dis-torsi harmonik [1].

#### 2. METODE PENELITIAN

# 2.1. Blok Diagram alur penelitian

Langkah-langkah penelitian ini sebagai berikut, diagram bloknya ditunjukkan di Gambar 1.

- 1. Menyediakan sumber DC konverter dc-dc buck-boost . Mendesain instrumentasi yang akan digunakan (sensor yang diperlukan). Desain, Pengendalian, pengkondisian
- 2. Pengkondisian sebuah aki pada posisi awal yang sama level muatannya
- 3. Pengkondisian sebuah aki pada posisi awal sama muatannya
- 4. Memulai pemuatan muatan ke aki dengan memberi daya dari sumber DC
- 5. Menyetingan lama pemuatan jam
- 6. Mencatat hasil penelitian dan membahas dan membuat kesimpulan



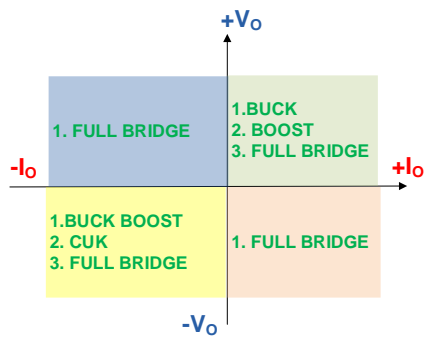
Gambar 1. Diagram alir penelitian

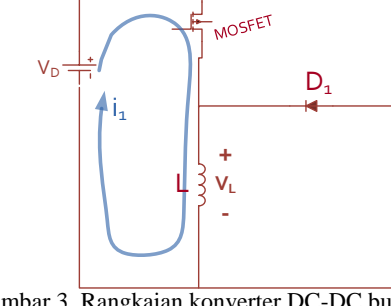
# 2.2. Polaritas masukan dan luaran konverter DC-DC

Semua masukan konverter DC-DC selalu positip dan netral. Tegangan DC berpolaritas +, dan boleh beripel. Sedang keluarannya bisa polaritas negatip. Pada Gambar 2 diperlihatkan polaritas tegangan dan arus pada luaran konverter DC-DC. Penelitian ini menggunakan konverter DC-DC buck boost untuk charger, dan sinyal luarannya berada pada quadran kiri bawah.

# 2.3. Rangkaian konverter DC-DC

Gambar 3, adalah rangkaian saat Switch ON, arus  $i_1$  mengalir dan menyimpan muatan di induktor L. Arus  $i_1$  menanjak, sebab arus ini mengisi dan tersimpan di dalam induktor, Gambar 3. Gambar sinyal di Gambar 4. Arus  $i_2$  baru mengalir saat switch MOSFET off, lihat Gambar 5. Sinyal  $i_2$  menurun karena ini adalah arus yang lepas, melalui R dan Diode  $D_1$ . Perhatikan polaritas  $V_L$  pada Gambar 3 dan Gambar 5.





Gambar 2. Quadran luaran konverter DC-DC

Gambar 3. Rangkaian konverter DC-DC buck-boost saat switch ON

# 2.4. Hubungan antara Tegangan masukan dan luaran pada konverterv DC-DC buck-boost

Pada Gambar 4, pada sumbu V<sub>L</sub>, luasan positif dan negatif harus sama. Sehingga,

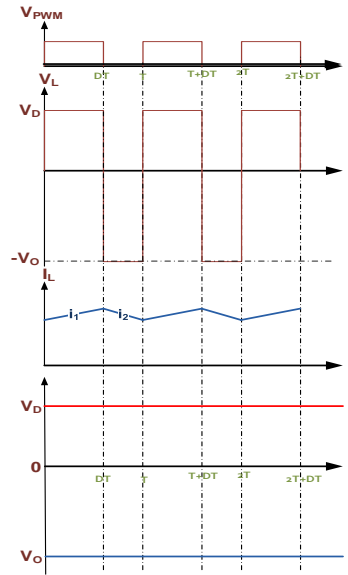
$$V_{D}DT + (T - DT)(-V_{O}) = 0$$
 (1)

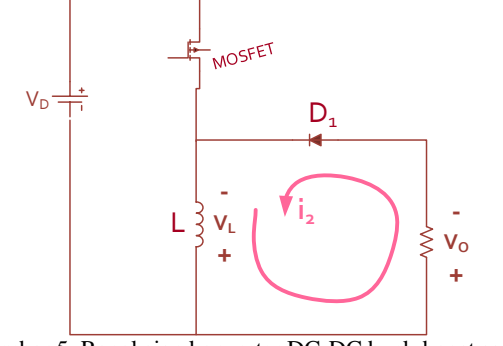
$$V_D D = V_0 (1 - D)$$
 (2)

$$D = \frac{v_0}{v_D + v_0} \tag{3}$$

$$\frac{V_D}{V_O} = \frac{1 - D}{D} \tag{4}$$

$$\frac{I_0}{I_D} = \frac{1 - D}{D} \tag{5}$$





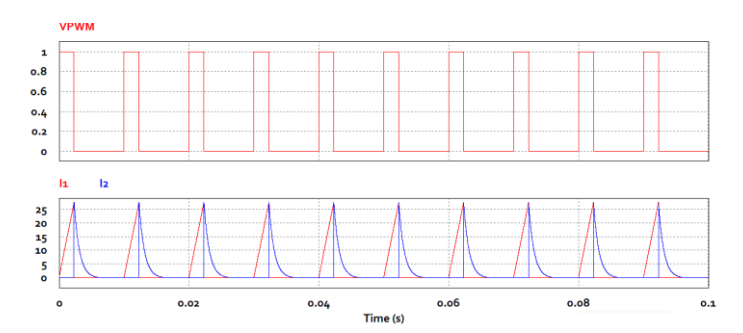
Gambar 5. Rangkaian konverter DC-DC buck-boost saat switch OFF

Gambar 4. Sinyal listrik pada konverter dc-dc buck boost

Persamaan 1, 2, 3, 4, dan 5 dengan semikonduktor yang bagus menghasilkan arus dan tegangan yang ideal. Tegangan dan arus yang ideal juga ditentukan oleh nilai L dan atau desain konstruksi, yangterkait dengan

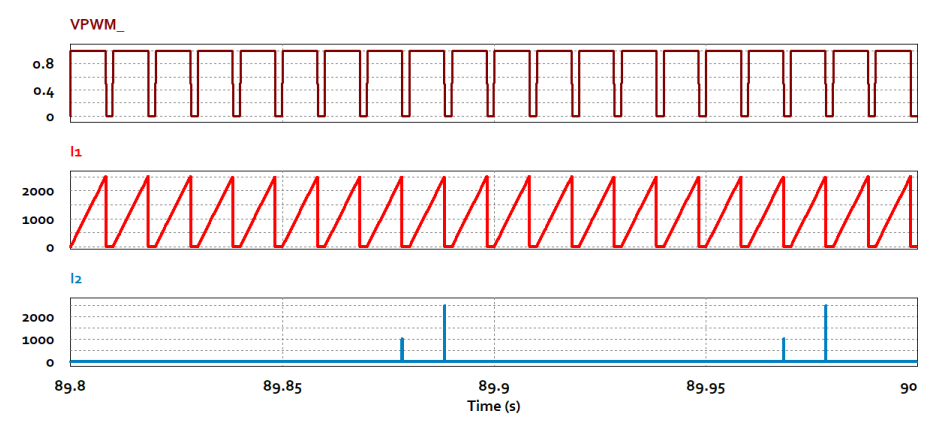
dimensi, bentuk, jenis konduktor, jumlah lilitan, sehingga ketika diukur bisa menghasilkan Nilai L (induktansi sendiri), dan Mutual Induktansi. Bentuk Gelombang yang ideal dapat dilihat di Gambar 4.

Oleh karena bisa terjadi bentuk arus tidak seideal seperti di Gambar 4. Pada Gambar 6 ditunjukan bentuk arus i<sub>1</sub> dan arus i<sub>2</sub>. Bentuk arus i<sub>1</sub> ideal, namun bentuk arus i<sub>2</sub> tidak ideal. Arus i<sub>2</sub> terlalu cepat turun menuju nol. Ini dikarenakan induktor tidak bisa menyimpan magnit dalam jumlah yang cukup.



Gambar 6. PWM dan gelombang arus pada detik 0 t≤0,1

Di Gambar 7, menunjukan gelombang listrik yang terjadi pada menit ke 90, sinyal i<sub>2</sub> mulai jarang, bukti bahwa kondisi bateray mulai penuh.



Gambar 7. Karakter gelombang arus dan pulsa PWM

# 2.5. Mendesain kapasitor dan induktor.

## 2.5.1. Arus dengan konduksi antara kontinyu diskontinyu

Untuk konduksi arus pada batas antara kontinyu dan diskontinyu dapat dilihat di Gambar 8. Luasan daerah berwarna pink harus sama dengan luasan daerah berwarna biru.

Pada Gambar 8, 3 buah luasan riak adalah  $\Delta Q_1$ ,  $\Delta Q_2$ ,  $\Delta Q_3$ .  $\Delta Q_1 + \Delta Q_2 = \Delta Q_3$ . Tampak juga bahwa luasan  $\Delta Q_1 + \Delta Q_2$  lebih mudah dihitung dari pada  $\Delta Q_3$ . Oleh karena itu penulis akan menghitung luasan  $\Delta Q_1 + \Delta Q_2$ . Luasan  $\Delta Q_1$  panjang  $DT_S$  dan tinggi  $\overline{I}_2$ . Luasan  $\Delta Q_2$  panjang  $\lambda$  dan tinggi  $\overline{I}_2$ . Untuk menentukan panjang  $\lambda$ , penulis harus menentukan koordinat titik potong arus kurva  $i_2$  dan  $\overline{I}_2$  yakni titik Z. Jika nilai  $i_2$  persamaan 6 harus sama dengan nilai  $\overline{I}_2$  persamaan 7, maka t diganti dengan  $t_z$ . Persamaan 8 menunjukkan nilai  $I_2$  saat  $t_z$ . Waktu  $t_z$  adalah waktu tempuh yang diperlukan untuk mencapai titik Z.

$$i_2 = \frac{\left(t - T_S\right)V_D D}{\left(D - 1\right)L} \tag{6}$$

Dari persamaan 6. Diperlukan arus  $i_2$  rata-rata,  $\overline{I_2}$ ,

$$\bar{i}_2 = \frac{1}{T_S} \int_{DT}^{T_S} \frac{(t - T_S)V_DD}{(D - 1)L} dt$$

$$\bar{i}_2 = -\frac{1}{2} \frac{V_D \, DT_S (D-1)}{L} \tag{7}$$

Persamaan 6 menjadi

$$i_2 = \frac{(t_Z - T_S)V_D D}{(D-1)L}$$
 (8)

Persamaan  $\bar{i}_2 = -\frac{1}{2} \frac{V_D DT_S (D-1)}{L}$  atau pers 7 harus sama dengan pers  $i_2$  pers 8.

Jika nilai persamaan 7 harus sama dengan nilai persamaan 8 maka,

$$t_{Z} = -\frac{1}{2}T_{S}(-1+D^{2}-2D)$$

$$\lambda = T_{S} - t_{Z}$$

$$\lambda = \frac{1}{2}T_{S}(D-1)^{2}$$
(9)

Dari persamaan 9 luasan  $\Delta Q_2$  dapat dihitung,

$$\Delta Q_{2} = \frac{1}{2} \lambda \bar{i}_{2}$$

$$\Delta Q_{2} = \frac{1}{2} \left( \frac{1}{2} T_{S} (D - 1)^{2} \right) \left( -\frac{1}{2} \frac{V_{D} D T_{S} (D - 1)}{L} \right)$$

$$\Delta Q_{2} = -\frac{1}{8} \frac{T_{S}^{2}}{L}$$

$$\Delta Q_{2} = -\frac{1}{8} \frac{T_{S}^{2} (D - 1)^{3} V_{D} D}{L}$$
(10)

Persamaan 10 dapat dibandingkan dengan persamaan untuk konverter DC-DC Boost. Selanjutnya kita menghitung luasan  $\Delta Q_1$  dengan memakai persamaan sebagai berikut:

$$\Delta Q_{1} = DT_{S} \bar{i}_{2}$$

$$\Delta Q_{1} = DT_{S} \left( -\frac{1}{2} \frac{V_{D}DT_{S}(D-1)}{L} \right)$$

$$\Delta Q_{1} = \frac{-1}{2} \frac{D^{2}T_{S}^{2}V_{D}(D-1)}{L}$$
(11)

Persamaan 11 dapat dibandingkan dengan persamaan untuk konverter DC-DC yang dibahas sebelumnya. Luasan  $\Delta Q_1 + \Delta Q_2$  merupakan nilai acuan untuk menentukan besarnya riak tegangan, kapasitansi, dan induktansi. Luasan total dapat dilihat di persamaan 12.

$$\Delta Q = \left(-\frac{1}{2} \frac{D^2 T_S^2 V_D (D-1)}{L}\right) + \left(-\frac{1}{8} \frac{T_S^2 (D-1)^3 V_D D}{L}\right)$$

$$\Delta Q = -\frac{1}{8} \frac{D T_S^2 V_D (D-1) (D+1)^2}{L}$$
(12)

Sedang amplitudu riak tegangan dari puncak ke lembah diberikan dengan persamaan,

$$\Delta V_{O} = \frac{\Delta Q}{C} \tag{13}$$

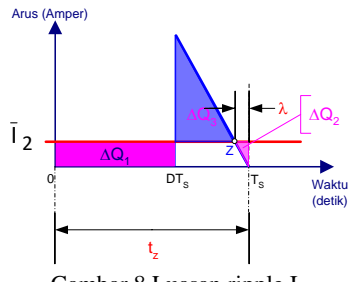
Peneliti menyimpulkan bahwa persamaan-persamaan di atas untuk gelombang yang ideal.

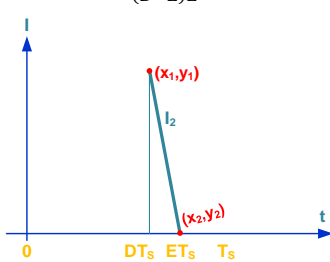
# 2.5.2. Pemodelan kapasitor C untuk menghasilkan lebar gelombang tipis dengan ripel tinggi

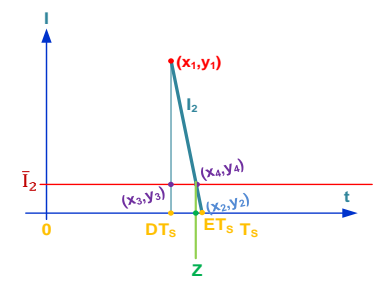
Gambar 9, menunjukkan arus  $I_2$ , adalah arus luaran konverter DC-DC buck boost, Dn juga arus buangan dari induktor. Dari Gambar 9, dapat diperoleh:  $x_1,y_1 = \left(DT_S, \frac{V_D}{L}DT_S\right)x_2$ ,  $y_2 = \left(ET_S, 0\right)$ . Dengan menggunakan rumus mathematika, persaman garis lurus dengan diketahui 2 titik sbb:  $(y-y_1)/(y_2-y_1) = (x-x_1)/(x_2-x_1)$ 

$$\frac{I_2 - y_1}{y_2 - y_1} = \frac{x - x_1}{x_2 - x_1} \tag{13}$$









Gambar 8 Luasan ripple I2

Gambar 9. Gelombang luaran konverter DC-DC BUCK BOOST dengan konduksi diskontinyu.

Gambar 10. Mencari titik potong  $I_2$  dan  $\overline{I_2}$ 

Dengan memasukan nilai-nilai  $(x_1,y_1)$  dan  $(x_2,y_2)$ , ke dalam persamaan 13, maka,

$$\bar{I}_{2} = \frac{1}{T_{S}} \int_{DT_{S}}^{ET_{S}} \frac{(ET_{S} - t)V_{D}D}{(D - E)L} dt$$
 (15)

$$\bar{I}_{2} = \frac{1}{2} \frac{V_{D}D(-D^{2}T_{S}^{2} + E^{2}T_{S}^{2})}{(D-E)L} - \frac{ET_{S}V_{D}D(-DT_{S} + ET_{S})}{(D-E)L}$$
(16)

$$\mathbf{x}_1, \mathbf{y}_1 = \left(DT_S, \frac{V_D}{L}DT_S\right)$$

$$x_3, y_3 = (DT_S, \bar{I}_2)$$

Perhatikan Gambar 10, di gambar itu ditunjukan letak titik Z, diketemukan di persamaan 19.

Persamaan 14 = persamaan 16, pada t tertentu. Persamaan 14 pada saat  $ZT_S$  adalah dengan memasukan nilai  $ZT_S$  pada variabel t pada persamaan 14,

$$I_2(ZT_S) = \frac{(ET_S - ZT_S)V_DD}{(D-E)L}$$
(17)

Nilai persamaan 14, sama dengan nilai persamaan 16 pada  $t = ZT_S$ .

$$\frac{1}{2} \frac{V_D D \left(-D^2 T_S^2 + E^2 T_S^2\right)}{(D - E)L} - \frac{E T_S V_D D (-D T_S + E T_S)}{(D - E)L} = \frac{(E T_S - Z T_S) V_D D}{(D - E)L}$$
(18)

$$Z = E + \frac{1}{2}D^{2}T_{S} + \frac{1}{2}E^{2}T_{S} - ET_{S}D$$
(19)

$$Z = E + \frac{1}{2}T_{S}(D - E)^{2}$$
(20)

Persamaan 20 benar, dengan bukti, jika E = D, maka Z = D. Koordinat  $x_4, y_4 = (Z, \bar{I}_2)$ . Koordinat segitiga yang akan peneliti hitung, adalah  $(x_1, y_1)$ ;  $(x_3, y_3)$ ;  $(x_4, y_4)$ . Lihat Tabel berikut ini

$$\Delta Q = \frac{1}{2} \begin{bmatrix} 1 & 1 & 1 \\ x_1 & x_3 & x_4 \\ y_1 & y_3 & y_4 \end{bmatrix}$$
 (21)

Tabel 1. Koordinat segitiga yang dihitung

$$\begin{array}{ccc}
x1 & \left(DT_S, \frac{V_D}{L}DT_S\right) \\
x2 & & \\
x3 & & \left(DT_S, \bar{I}_2\right) \\
x4 & & \left(Z, \bar{I}_2\right)
\end{array}$$

$$\Delta Q = \frac{1}{2} \begin{bmatrix} 1 & 1 & 1 \\ DT_{S} & DT_{S} & Z \\ \frac{V_{D}}{I} DT_{S} & \bar{I}_{2} & \bar{I}_{2} \end{bmatrix}$$
 (22)

$$\begin{bmatrix} 1 & 1 & 1 \\ DT_{S} & DT_{S} & Z \\ \frac{V_{D}}{L}DT_{S} & \bar{I}_{2} & \bar{I}_{2} \end{bmatrix} \begin{bmatrix} 1 & 1 \\ DT_{S} & DT_{S} \\ \frac{V_{D}}{L}DT_{S} & \bar{I}_{2} \end{bmatrix}$$
(23)

$$\begin{bmatrix} 1 & 1 & 1 \\ DT_{S} & DT_{S} & Z \\ \frac{V_{D}}{L} DT_{S} & \bar{I}_{2} & \bar{I}_{2} \end{bmatrix} \frac{1}{DT_{S}} \frac{1}{DT_{S}}$$

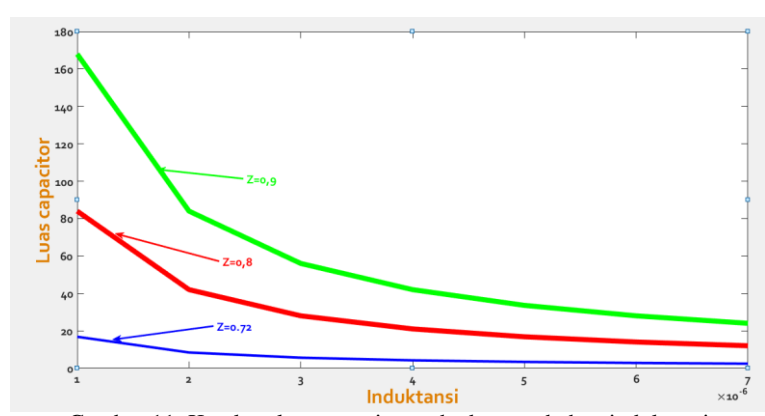
 $1\times DT_S\times \bar{I}_2 + 1\times Z\times \frac{v_D}{L}DT_S + 1\times DT_S\times \bar{I}_2 - 1\times DT_S\times \frac{v_D}{L}DT_S - 1\times Z\times \bar{I}_2 - 1\times DT_S\times \bar{I}_2 = \Delta Q$ 

$$\Delta Q = DT_S \bar{I}_2 + \frac{ZV_D DT_S}{L} - \frac{D^2 T_S^2 V_D}{L} - Z\bar{I}_2$$

$$\Delta Q = -\frac{(DT_S - Z)(DT_S V_D - \bar{I}_2 L)}{L}$$
(24)

Sedang amplitudu riak tegangan dari puncak ke lembah diberikan dengan persamaan,

$$\Delta V_O = \frac{\Delta Q}{C} \tag{25}$$



Gambar 11. Karakter luas capasitor terhadap perubahan induktansi

Yang dimaksud dengan Gambar 11, adalah dengan nilai Z makin kecil, artinya makin men-dekati nilai DT<sub>S</sub>, dibutuhkan kapasitor kecil dan amplitudu puncak arus I<sub>2</sub> yang sama. Koordinat puncak arus I<sub>2</sub> adalah  $(x_1,y_1) = (DT_S, \frac{V_D}{L}DT_S)$ . Berdasarkan teori konverter DC-DC maka rasio tegangan masukan dan tegangan keluar dengan asumsi gelombang arusnya normal,

$$D = \frac{V_O}{V_D + V_O} \tag{26}$$

Penulis menggambarkan gelombang tegangan Induktor yang tidak normal dan gelombang sinyal listrik yang lain, seperti ditunjukan di Gambar 13. Dalam Gambar itu memperlihatkan arus I<sub>2</sub>, turun lebih cepat dari titik akhir periode. Ini karena Induktor tidak mampu menyimpan seluruh magnit yang dihasilkan arus I<sub>1</sub>, kwalitas konstruksi induktor buruk, frekwensi PWM tidak tepat, dutycycle tidak tepat. Tetapi bisa juga inilah

yang diharapkan. Yakni riple tinggi dengan arus kecil 2 amper, dan tegangan 15 Volt, lebar pulsa harus sekecil mungkin.

Dari bentuk gelombang tegangan V<sub>L</sub> dapat dianalisis sbb:

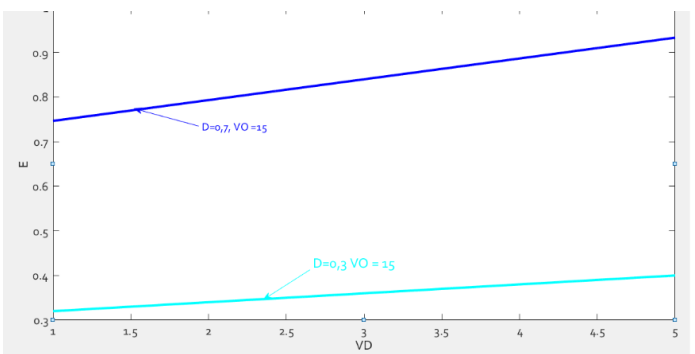
$$DT_S V_D - V_O (ET_S - DT_S) = 0 (27)$$

$$D = \frac{EV_O}{V_D + V_O} \tag{28}$$

$$V_O = -\frac{DV_D}{D - E} \tag{29}$$

$$E = \frac{D(V_D + V_O)}{V_O} \tag{30}$$

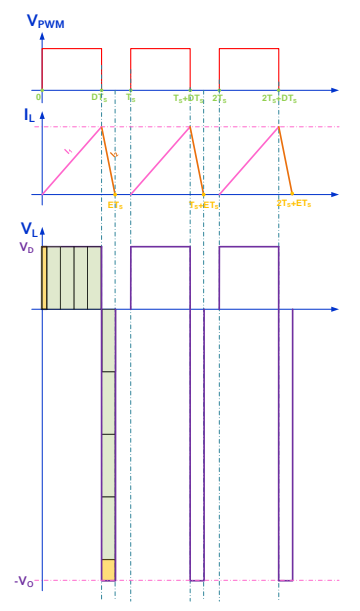
Persamaan 28 jika dibandingkan dengan persamaan 26, hanya terletak pada faktor E nya saja.



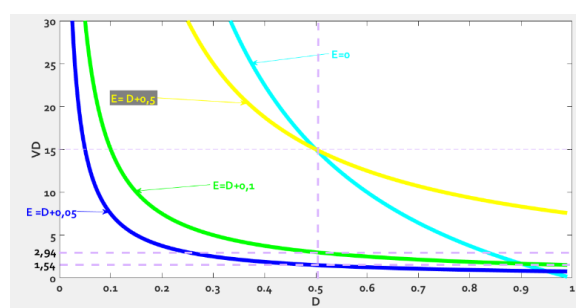
Gambar 12. Pengaruh Tegangan V<sub>D</sub> terhadap E pada V<sub>O</sub> yang konstan

Gambar 12, adalah efek memperlakukan E pada pada tegangan masukan  $V_D$  dan dutycycle D dengan tegangan luaran  $V_D$  konstan. Dari Gambar di sini juga, D semakin rendah maka, maka E semakin mendekati D.  $V_D$  semakin tinggi, E semakin mendekati akhir periode.

Gambar 14 menunjukan varibel nilai  $V_D$ , E, dan nilai D. Dengan tegangan luaran  $V_O$  yang tetap, 15 Volt, muncullah karakter seperti Gambar 14.

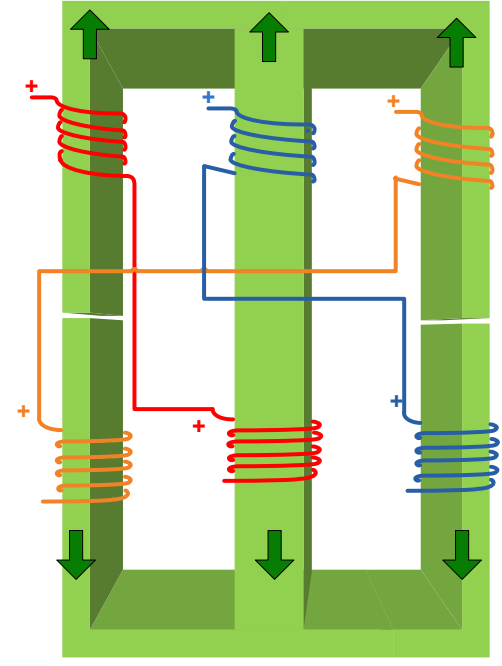


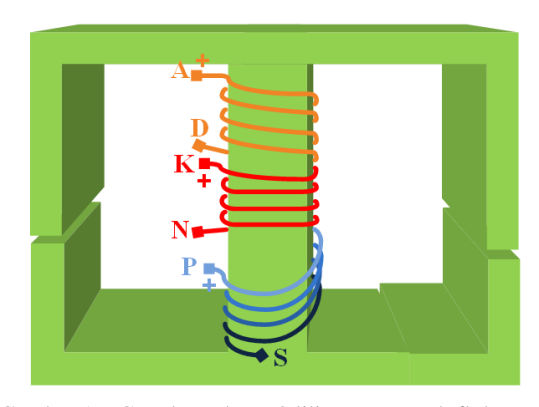
Gambar 13. Sinyal listrik yang terjadi di konverter DC-DC dengan konduksi tidak kontinyu



Gambar 14. Efek perubahan E, dan D terhadap V<sub>D</sub> dengan

Nilai E bisa saja membatasi nilai D, misal E = 0,5, maka ketika D mencapai 0,5, arus telah mencapai konduksi pada batas antara kontinyu dan diskontinyu. Jika D lebih besar dari 0,5 konduksi arus bisa kontinyu. Ini dapat untuk membuktikan bahwa, bahwa konstruksi induktor bisa membuat konduksi arus menjadi kontinyu





Gambar 16. Core bentuk EI, 3 lilitan yang arah fluk saling memperkuat

Gambar 15. Core bentuk EI, 3 lilitan yang arah flux saling melemahkan

Memperhatikan gambar 15, satu core terdiri dari 6 lilitan, per dua lilitan disambung, menghasilkan arah fluks maknet yang berlawanan. Ini mengakibatkan rasio antara induktansi mutual dan sendiri  $\left[K = -\frac{M}{L}\right]$  menghasilkan angka dengan range  $-1 \le K \le 0.[12]$ 

Gambar 16, satu core terdiri dari 3 lilitan, dan semua lilitan diletakan di kaki tengah, menghasilkan fluks maknet yang memperkuat. Menghasilkan rasio  $\left[K = \frac{M}{L}\right]$  dengan range  $0 \le K \le 1$ . [12]

Gambar 17, satu core terdiri dari 1 lilitan, 1 unit ada 3 core dan 3 lilitan. Karena letaknya berjauhan dan dipisahkan dengan udara dan core terpisah, maka fluks maknet yang terjadi tidak saling interaksi, yang berakibat tidak ada induktansi mutual. Menghasilkan  $\left[K = \frac{M}{L}\right]$ , K = 0. [12]

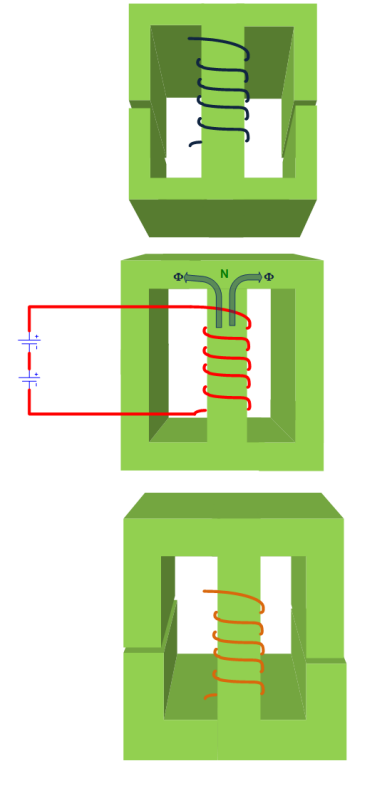
Core berbentuk cicin ditunjukan Gambar 18. Menurut pendapat para ahli [5], core cincin menghasilkan fluks magnet yang lebih banyak dari core bentuk lainnya. maka dapat dihasil  $-1 \le K \le 1$ .

Gambar 19 menunjukan bentuk gelombang arus dengan bermacam amplitudu puncak, dan tegangan  $V_D$  yang berbeda beda. Variabel yang tetap adalah Duty cycle D=0.5 dan tegangan luaran  $V_O=15$  volt. Ini menunjukkan bahwa dengan D yang tetap, tegangan  $V_D$  yang berbedabeda, tegangan luaran bisa dibuat konstan dengan desain yang berbeda pada konstruksi Induktor.

# 2.6. Perencanaan Amplitudu Riple

Gambar 19, memperlihatkan ripel arus yang berbeda untuk tegangan luaran yang tetap. Dari model mathematika sesuai dengan persamaan yang ada pada Tabel A. Dan koordinat  $(x_1, y_1)$  pada Gambar 10. Puncak arus digambarkan dengan ordinat  $(y_1)$ . Puncak arus sesuai dengan rumus  $I_1$   $(DT_S) = I_2$   $(DT_S) = \frac{V_D}{I}DT_S$ .

Secara analisis puncak arus tergantung dari tegangan, nilai induktor, D, frekwensi. Namun pada eksperimen, besarnya arus rata-rata, nilai arus puncak sangat kompleks. Dan disinilah perlu penelitian dan simulasi untuk menghasilkan data





Gambar 18. Core bentuk cincin, 2 lilitan yang arah fluks bisa diatur menambah fluks atau mengurangi fluks.

Gambar 17. Core bentuk EI, 3 lilitan yang arah fluks tidak saling interaksi

# 3. HASIL DAN PEMBAHASAN

# 3.1. Analisis dan pengujian

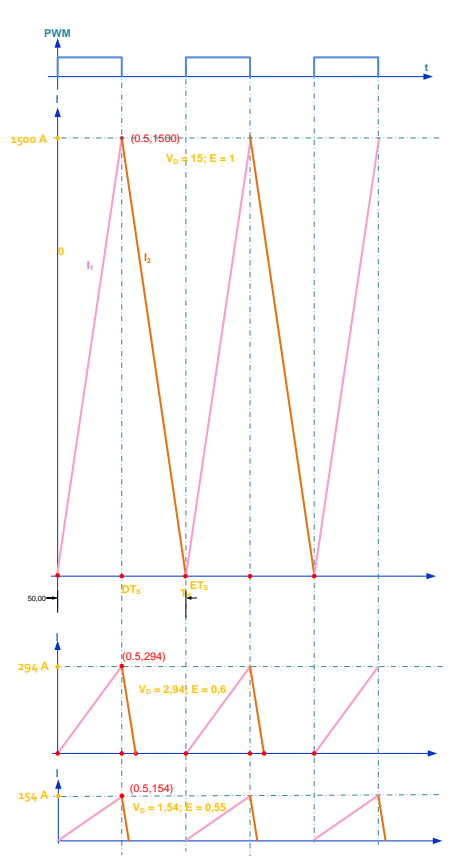
Tabel 2. Hasil simulasi dengan  $L = 50 \, \Box H$ 

Besaran	0.1 detik	70 detik	160 detik
$I_1$	Lebar pulsa lebih gemuk, riak 3000 A, bentuk gigi gergaji, nilai rata-rata 317,5 A. Gambar 20	I <sub>1</sub> (rata-rata)= 1045 A, bentuk gi- gi gergaji, dengan frekwensi 100 Hz, ripple 2500 A. Gambar 22.	I <sub>1</sub> (rata-rata)= 1041.6A, bentuk gigi gergaji, frekwensi 100 Hz, tinggi ripple 2500 A (Gambar 24)
I <sub>2</sub>	Riak tinggi, sampai 3500 A, nilai rata-rata = 2,5 A Gambar 20	i2 (rata-rata) = 3.7 A, tinggi rip- ple 2500 A, frekwensi = 14.3 Hz. Jadi ada pengurangan frekwensi ripple. Gambar 22.	i2 (rata-rata) = 0.00027 A, tinggi ripple -0.00029 A (negatip), fre- kwensi = 50 Hz. (gambar 24).
$V_{Aki}$	Menanjak sampai 2.2 V. Gambar 21	Menanjak, normal. Riak normal, Gambar 23	Frek 100 Hz, tegangan konstan 33,5 Volt, riak 33,46 – 33.5 Volt. Gambar 25
$V_{T}$	Stabil, riak sangat tinggi 9000 volt, rata-rata. Gambar 21	Riak sangat tinggi 8407 V, tipis, frek rendah 14 Hz,. Gambar 23	$V_T$ rata-rata = 56.21, riak max = 3000 Volt, frekwensi ripelnya 50 Hz. (gambar 25)
PWM	Normal. Gambar 20. Gambar 21.	Normal. Gambar 22, Gambar 23,	Sinyal PWM normal frekwensi = 100 hz. (Gambar 24, Gambar 25)

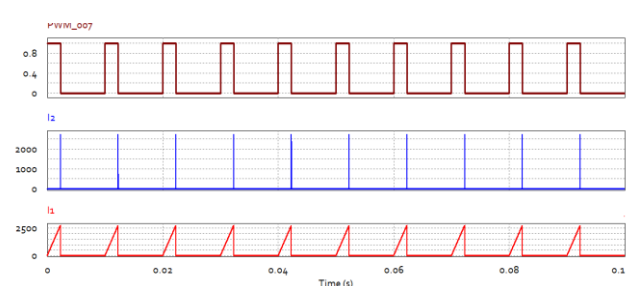
Tabel 3. Hasil simulasi dengan L = 5 mH

Besaran	0.1 detik	600 detik	3000 detik
I <sub>1</sub>	Normal, arus puncak 26 A, dengan rata-rata nya 3.2 A, [Gambar 29]	Amplitudu tegangan berubah tu- run naik selama 4 periode. De- ngan nilai arus rata-rata 3,18 A. Puncak arus 27.45 [gambar 27]	Frekwensi riple meningkat di ½ duty cicle 1, karena saat high sinyal terpecah menjadi beberapa riple. nilai rata-rata 2,6 A [gambar 28],
$I_2$	Amplitudu sama dengan I <sub>1</sub> , ke- mudian I <sub>2</sub> menurun sampai nol, sebelum akhir periode, konduksi diskontinyu. Karena	Frekwensi ripel tetap 100 Hz, amplitudu berubah semakin me- nurun sampai 4 periode, Berdiri tegak lurus pas tepi menurun	Karakteristik amplitudu sama de- ngan saat 600 detik, frekwensi me- ningkat kare-na ripelnya terpecah Nilai ra-ta-rata 1,9 A [gambar 28]

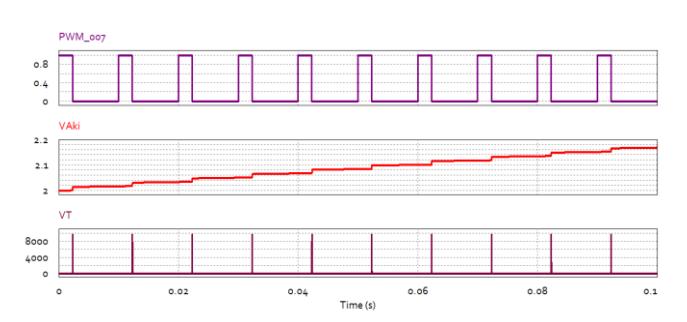
Besaran	0.1 detik	600 detik	3000 detik
	induktor tidak mampu me- nyimpan muatan besar per periodenya. [Gambar 29]. Ni- lai rata-rata I <sub>2</sub> = 2.1 A	PWMnya. Nilai arus rata-rata 1,6 Amper. [gambar 27]	
$V_{Aki}$	Menanjak dengan konduksi kontinyu. Gambar 29.	Kondisi ripel masih konstan dan konsisten [Gambar 26]	Ripel nyaris tidak berubah dan fre- kwensi ripel lebih dari 100 Hz, [Gambar 28]
$V_{T}$	Sefasa dng PWM, Naik, lalu segera turun. Seperti I <sub>2</sub> dan sefasa. Induktor tidak mampu menyipan muat-an yang lebih besar. [Gambar 29]	Amplitudu berubah secara periodik [gambar 26]	Amplitudu berubah secara periodik, namun frekwensi riple menurun [gambar 28]
PWM	Normal [gambar 1, Gambar 29]	Normal ada delay sedikit [ gam- bar 26, Gambar 27]	Induktor tidak mampu meyimpan magnit [Gambar 6]. Frekwensi tetap 100 Hz, Bagian Ton nya mulai ter- pecah pecah (gambar 28)



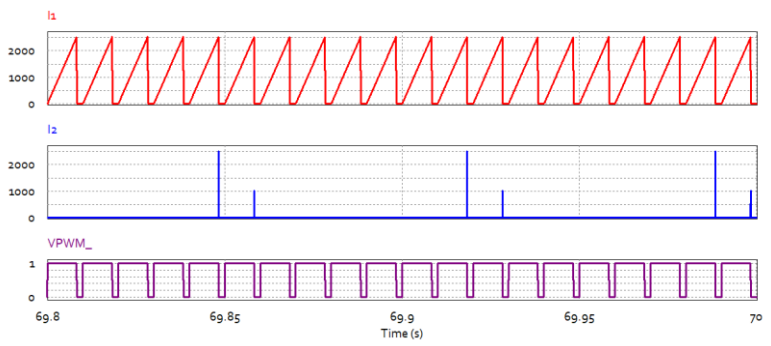
Gambar 19. Arus dengan bermacam macam konduksi diskontinyu



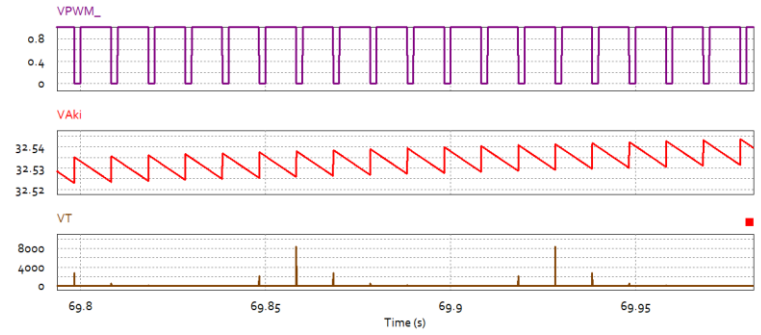
Gambar 20. Bentuk gelombang arus dengan  $L = 50 \ \Box H$ 



Gambar 21. Bentuk gelombang tegangan dengan  $L = 50 \ \Box H$ 

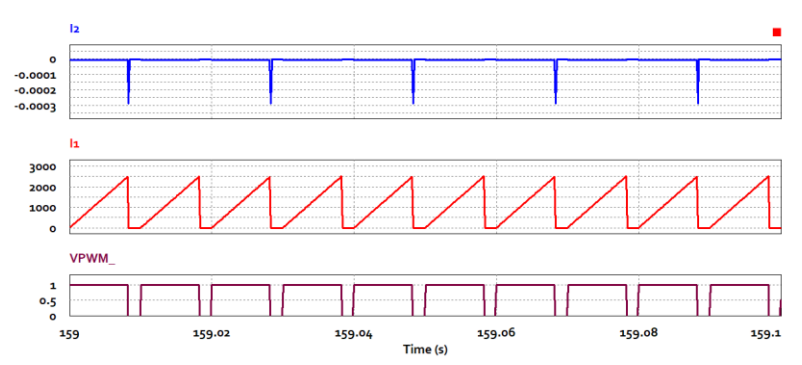


Gambar 22. Bentuk gelombang arus dengan  $L = 50 \ \Box H$ 

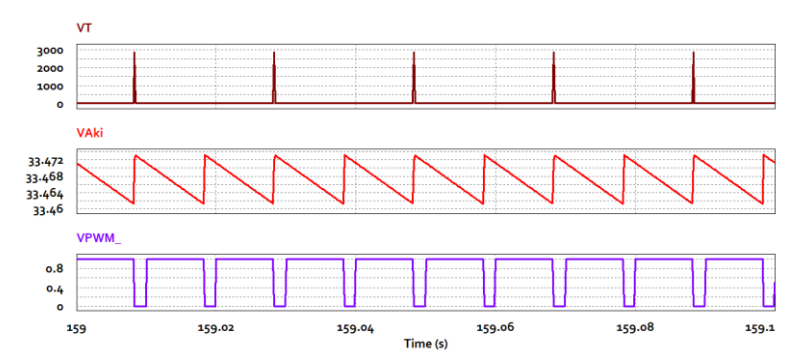


Gambar 23. Bentuk gelombang tegangan dengan  $L=50\ \Box H$ 

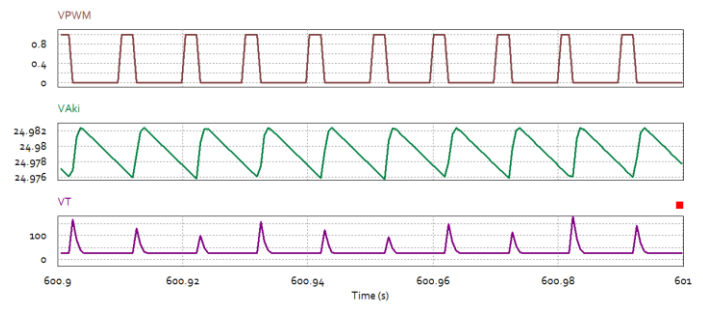
Temuan:  $I_1$ , sangat tinggi.  $I_2$  jauh sangat rendah. Ini membuat perangkat sangat berdimensi besar dan berat. (Gambar 25)



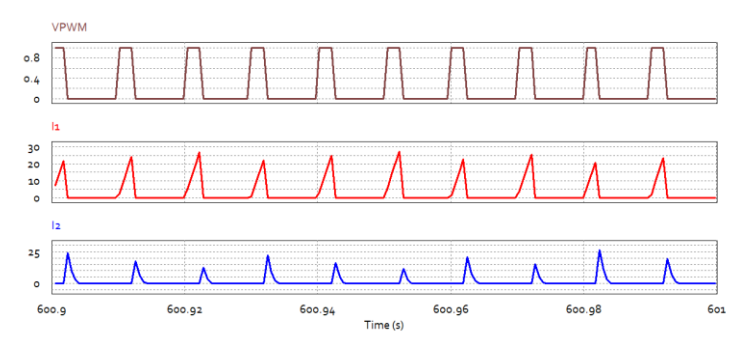
Gambar 24. Bentuk gelombang arus pada detik ke 160



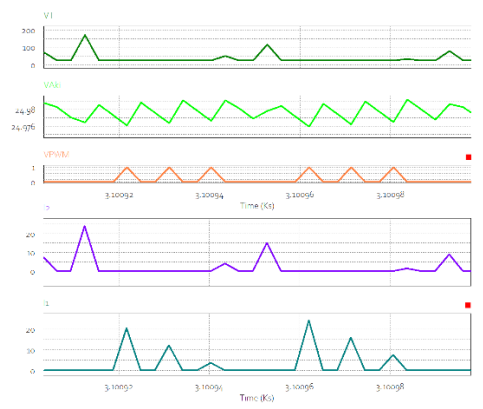
Gambar 25. Bentuk gelombang arus pada detik ke 160



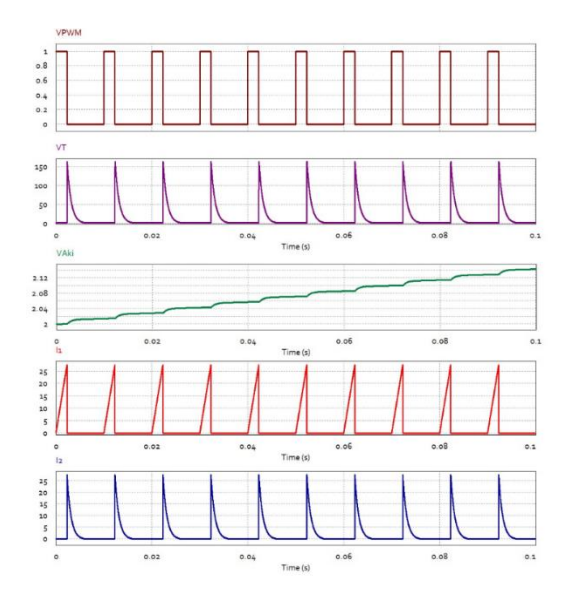
Gambar 26. Bentuk gelombang Tegangan dan PWM pada detik ke 600



Gambar 27. Bentuk PWM dan arus pada detik ke 600



Gambar 28. Sinyal listrik pada detik ke 3000



Gambar 29. Gelombang PWM, arus dan tegangan

## 4. KESIMPULAN

Berdasarkan hasil implementasi, pengujian dan analisis pada angkaian, gelombang hasil simulasi, dapat diusulkan sbb:

- a. Amplitudu ripple lebih signifikan daripada frekwensi tinggi dalam kecepatan pengisian pada baterai.
- b. Nilai induktansi yang lebih kecil mengakibatkan amplitudu ripple lebih tinggi
- c. Karakter riple di sisi luaran bisa berubah karena ada efek ketidak-konsistenan. Kecepatan perubahan ripel tidak sama dengan kecepatan frekwensi switching
- d. Arus charging akan sangat rendah jika muatan telah penuh.

# 5. UCAPAN TERIMA KASIH

Sampailah kami di sini mengucapkan terimakasih kepada POLINEMA yang membiayai penelitian ini, kepada journal ELTEK yang mempublikasihkan penelitian kami, kepada teman-teman yang membantu penelitian ini.

# 6. DAFTAR PUSTAKA (11 PT)

- [1] M. Nassary, dkk. "A High Current Ripple EV Battery Charger Utilizing Capacitorless CUK Converter," 2019 IEEE Conference on Power Electronics and Renewable Energy (CPERE).
- [2] H. He, R. Xiong dan J. Fan, "Evaluation of Lithium-Ion Battery Equivalent Circuit Models for State of Charge Estimation by an Experimental Approach," ISSN 1996-1073, www.mdpi.com/journal/energies, publikasi 29 Maret 2011
- [3] E. Katona dan M. Kuczmann, "Transient analysis module from an object o-riented electrical circuit designer application," Przglad elektrotechniczny (electrical review), ISSN 0033-2097, R. 87 NR 3/2011
- [4] A. Eric dan H.W. Leslie, "Universal powert manager with vari-able buck/boost converter," United states patent.
- [5] E. M. Brock, N.J. Flemington, Hunterdon Transformer Company, Flemington, N.J., New Jersey, "Torodal Inductor," Patented Sept. 2, 1969, USA

- [6] Thomas W. Efford; Gary J. Buczkowski, West Jefferson; Mitchel D. Weaver, Fleet-wood, N.C. High Ripple "Current Capacitor," Paten USA No. 5,673,168, Sep. 30, 1997
- [7] N. Mohan, T.M. Undeland, dan W.P. Robbins, 1955, "Power Electronics, Converter, Aplications, and Design," Singapore, Second Edition, John Wiley & Sons,.
- [8] M. H. Rashid, 1993, "Power Eletronics, circuits, devices, and applications," Englewood Cliffs, New Jersey, second edition, Prentice Hall In-ternational Editions.
- [9] A. Murtono, 2017, "Pengaruh Besar Riak Dan Frekwensi Terhadap Kecepatan Pemuatan Pada Aki Basah," Laporan penelitian Polinema
- [10] A. Murtono, 2013, "Modul Ajar Elektronika Daya," Malang: Polinema.
- [11] A. Murtono, 2012, "Analisis Pengaruh Induktor Resistor Dan Kapasitor Terhubung Seri Pada Sisi Luaran Inverter Satu Fasa," laporan penelitian Polinema
- [12] A. Murtono, 1998, "Pengaruh Induktansi Bersama terhadap Riak Arus Keluaran Chopper 3 fasa," Master Thesis, ITR

# 7. BIOGRAFI PENULIS



#### Ir. Ari Murtono, M.T.

- S1 universitas Brawijaya, fakultas Teknik, Jurusan Teknik Elekro, Tamat 1986
- S2 ITB Bandung, Jurusan Teknik Elektro, Tamat 1998
- Pengaruh Besar Riak dan Frekwensi terhadap Kecepatan Pemuatan pada Aki Basah, 2018. Ketua
- Murtono Ari, 2017, Pengaruh Besar Riak Dan Frekwensi Terhadap Kecepatan Pemuatan Pada Aki Basah, Laporan penelitian Polinema, Ketua
- Pengaruh filter terhadap daya pada penyearah ½ gelombang tanpa kendali, Laporan Penelitian Polinema, 2016. Ketua



# Edi Sulistio Budi, S.T., M.T

- S1 universitas Brawijaya, fakultas Teknik, Jurusan Teknik Elekro, Tamat 1997
- S2 ITB Bandung, Jurusan Teknik Instrumentasi, Tamat 2003
- Optimasi filter terhadap daya pada penyearah ½ gelombang tanpa kendali pada kondisi steady state, Laporan Penelitian Polinema, 2016. Anggota Penelitian
- Sistem penghemat pemakaian BBM pada motor bensin menggunakan Metode Rekayasa Suplemen Air (H2) (anggota, 2014)
- Analisis pengaruh induktor dan kapasitor terhubung seri pada sisi luaran Inverter satu fasa, (anggota 2013)



# Drs. Herman Hariyadi

- Optimasi filter terhadap daya pada penyearah ½ gelombang tanpa kendali pada kondisi steady state, Laporan Penelitian Polinema, 2016. Anggota
- Analisis beban induktor resistor pada luaran penyearah dengan kendali, 2014. Anggota
- Implementasi algoritma fuzzi pada alat ukur kekentalan minyak pelumas, 2013